

УПРАВЛЕНИЕ РАЗВИТИЕМ НЕУСТОЙЧИВОСТИ КАПИЛЛЯРНОЙ СТРУИ ДВУМЯ УЛЬТРАЗВУКОВЫМИ ПУЧКАМИ

А. Б. Езерский, В. П. Реутов

(Горький)

В последние годы в гидромеханике повысился интерес к проблеме перехода от ламинарных течений к турбулентным [1—6]. В экспериментальных исследованиях процесса зарождения турбулентности и при решении практических задач по «управлению переходом» важную роль играет анализ механизмов возбуждения неустойчивых волн внесенными в поток возмущениями различной природы. Нарастая вниз по потоку, индуцированные волны могут существенно изменить эволюцию спектра пульсаций, задержать либо ускорить развитие турбулентности. Возбуждение волн Толлмина — Шлихтинга акустическим полем в пограничном слое на пластине и их влияние на переход к турбулентности исследовалось в [2—4, 6]. Большое различие фазовых скоростей акустических и гидродинамических возмущений в дозвуковом течении приводит к тому, что акустическое поле индуцирует волны пограничного слоя лишь в окрестности передней кромки пластины (сосредоточенное возбуждение). В работе [7] обсуждалась возможность генерации неустойчивых волн двумя ультразвуковыми пучками при резонансе между индуцируемой волной и комбинационным воздействием на среду. В данном случае возбуждение волны распределено в области пересечения пучков, а ее частота, равная разности частот акустических волн, может быть значительно меньше каждой из них.

Эксперименты с капиллярными струями, выполненные в работах [8, 9], можно, по-видимому, отнести к первым наблюдениям акустического воздействия на гидродинамические течения. В этих экспериментах обнаружена чрезвычайно высокая чувствительность капиллярных струй к звуковым колебаниям и отмечено, что воздействие акустического поля на струю определяется в основном вибрациями сопла [9]. Точка разбиения струи на капли легко фиксируется визуально по характерному утолщению струи и уменьшению прозрачности потока. Возбуждение неустойчивых волн при комбинационном воздействии акустического поля на начальный участок струи равносильно увеличению уровня начальных возмущений и должно приводить к ускорению процесса образования капель.

1. Рассмотрим комбинационный механизм возбуждения неустойчивых волн, описанный в [7], применительно к капиллярной струе. Две акустические волны с частотами ω_1 и ω_2 , падающие на цилиндрическую жидкую струю, индуцируют в ней волны с разностной частотой $\Omega = \omega_2 - \omega_1$. Будем рассматривать возбуждение азимутально-симметричной моды, ответственной за неустойчивость струи. Эффективность возбуждения определяется расстройкой от резонанса волновых чисел нелинейно связанных волн, которая имеет вид

$$(1.1) \quad \Delta k = k_{2z} - k_{1z} - k_0 = k_0 \left(\frac{\omega_1 v_0}{\Omega c_a} \sin \theta_1 + \frac{\omega_2 v_0}{\Omega c_a} \sin \theta_2 - 1 \right),$$

где k_{1z} и k_{2z} — проекции волновых векторов падающих волн \mathbf{k}_1 и \mathbf{k}_2 на ось струи z ; $k_0 = \Omega/v_0$ — действительная часть волнового числа азимутально-симметричной моды; v_0 — скорость течения; c_a — скорость звука в воздухе; $\theta_{1,2}$ — углы между осью x и $\mathbf{k}_{1,2}$ (векторы $\mathbf{k}_{1,2}$ лежат в одной плоскости с осями x, z прямоугольной системы координат). Как следует из (1.1), резонанс взаимодействующих волн возможен только при $\Omega < (\omega_1 + \omega_2)v_0/c_a$. Поскольку $v_0 \ll c_a$, частоты $\omega_{1,2}$ должны значительно превышать частоту Ω , находящуюся в полосе неустойчивости течения.

Для определения амплитуды индуцированной волны необходимо решать систему уравнений движения среды с граничными условиями на возмущенной поверхности раздела. Задача значительно упрощается благодаря малости отношения плотностей воздуха и воды $\rho_a/\rho_w \ll 1$. Анализ показывает, что не слишком тонкую (по сравнению с длиной волны звука) струю при определении акустического воздействия почти на всех частотах можно считать абсолютно жестким цилиндром. При этом волны в струе возбуждаются только благодаря комбинационному давлению на ее поверхность со стороны окружающего воздуха.

Для описания акустического поля в атмосфере воспользуемся системой уравнений адиабатического приближения [10]

$$(1.2a) \quad \Phi_t + \frac{1}{2} (\nabla \Phi)^2 + \int \frac{d\tilde{p}}{\tilde{p}(\tilde{p})} = 0; \quad (1.2b) \quad \rho_t + \operatorname{div}(\rho \nabla \Phi) = 0,$$

где Φ — потенциал поля скоростей; ρ — плотность среды. Граничные условия сводятся к обращению в нуль радиальной составляющей скорости на поверхности цилиндра и к условию рассеяния на бесконечности. В линейном приближении потенциал, возникающий при рассеянии каждой из волн $\omega_{1,2}$, в области изменения углов $-\pi/2 < \theta_{1,2} < \pi/2$ можно представить в виде

$$(1.3) \quad \Phi = \frac{ip}{2\omega\rho_a} \sum_{m=-\infty}^{\infty} (-1)^m \left[I_m(\eta r) - \frac{I'_m(\eta a)}{H_m^{(2)'(\eta a)} H_m^2(\eta r)} \right] e^{i\omega t - ik_z z - im\varphi} + \text{к. с.},$$

где p — комплексная амплитуда давления в плоской волне; r и φ — цилиндрические координаты ($x = r \cos \varphi$, $y = r \sin \varphi$); I_m , $H_m^{(2)}$ — функции Бесселя и Ханкеля соответственно; a — радиус струи; $\eta = k \cos \theta$ — x -компонента волнового вектора (индексы 1, 2 у p , ω , η и k опущены). Первая часть суммы (1.3) представляет собой потенциал плоской волны, разложенный по цилиндрическим функциям, вторая описывает рассеянное цилиндрическое акустическое поле.

Учитывая, что колебания давления малы, разложим, как обычно, функцию $\rho(p)$ по степеням $\tilde{p} = p - p(\rho_a)$: $\rho = \rho_a + \frac{1}{c_a^2} \tilde{p} + \dots$. Комбинационное давление будем искать, представляя решение (1.2) в виде ряда теории возмущений по амплитуде акустических волн:

$$(1.4) \quad \Phi = \Phi^{(0)} + \Phi^{(1)} + \dots, \quad \tilde{p} = p^{(0)} + p^{(1)} + \dots,$$

где $\Phi^{(0)}$ — сумма потенциалов двух падающих волн, каждый из которых имеет вид (1.3); $p^{(0)} = -\rho_a \Phi_t^{(0)}$ — давление, соответствующее потенциалу $\Phi^{(0)}$. Определяя фурье-компоненту $p^{(1)}$ и $\Phi^{(1)}$ с частотой $\omega_2 - \omega_1 \ll \omega_{1,2}$ и с волновым числом $k_{2z} - k_{1z} \sim k_0$, в системе уравнений первого приближения можно пренебречь членом $\Phi_t^{(1)}$, который дает вклад порядка $v_0/c_a \ll \ll 1^*$. При этом комбинационное давление, индуцирующее волны в струе, выражается в виде

$$(1.5) \quad p_{\Omega}^{(1)} = \frac{1}{2c_a^2 \rho_a} [\tilde{p}^2]_{\Omega} - \frac{1}{2} \rho_a \left[\left(\frac{\partial \Phi^{(0)}}{\partial r} \right)^2 + \frac{1}{r^2} \left(\frac{\partial \Phi^{(0)}}{\partial \varphi} \right)^2 + \left(\frac{\partial \Phi^{(0)}}{\partial z} \right)^2 \right]_{\Omega}.$$

Здесь индексом Ω отмечены амплитуды фурье-гармоник: $p_{\Omega} = \langle p e^{i\Omega t} \rangle$ и т. п. (скобки $\langle \rangle$ означают усреднение по времени). После подстановки (1.3) в (1.5) получим для азимутально-симметричной составляющей $p_{\Omega}^{(1)}$ при $r = a$ выражение вида

$$(1.6) \quad \bar{p}_{\Omega}^{(1)} = \frac{K}{\pi^2 a^2 \eta_1 \eta_2} \frac{p_1^* p_2}{c_a^2 \rho_a} \exp[-i(k_{2z} - k_{1z})z],$$

где коэффициент K определен соотношением

$$K = \sum_{m=-\infty}^{\infty} \frac{\left(1 - \frac{c_a^2 m^2}{\omega_1 \omega_2 a^2} + \sin \theta_1 \sin \theta_2 \right)}{[H_m^{(2)'(\eta_1 a)}]^* H_m^{(2)'(\eta_2 a)}.$$

Рассмотрим, как изменится формула (1.6) при падении на струю двух акустических пучков. Будем считать, что оси пучков ориентированы так

* Оценка получена при $k_2 a, k_1 a \sim 1$.

же, как векторы $\mathbf{k}_{1,2}$ в рассмотренной выше задаче, и пересекаются с осью струи в одной точке $z = z_0$ (начало координат выбираем в начале струи). Пренебрегая изменением давления вдоль пучков на расстояниях $\sim L_* \sin \theta$ от точки z_0 (L_* — характерная длина области возбуждения волны), представим амплитуду давления в каждом из них в виде $p_{1,2} = p_{1,20} \chi(r_\perp) \times \exp [i\psi(r_\perp)]$, где r_\perp — расстояние до оси пучка; $p_{1,20}$ — амплитуда на оси; χ — нормированный профиль амплитуды; $\psi(r_\perp)$ описывает фазовую неоднородность поперек пучка. В том случае, когда $\psi(r_\perp)$ и $\chi(r_\perp)$ мало меняются на интервалах $\Delta r_\perp \sim 2a \sin \theta$, можно заменить давление, созданное пучком вблизи поверхности струи, его значением на оси z (в отсутствие жидкости). Учет пространственной структуры падающих волн при этом сведется к замене в (1.6) $p_{1,2}$ на $p_{1,2}(r_\perp)$, где $r_\perp = |z - z_0| \times \cos \theta_{1,2}$.

Ограничимся далее анализом комбинационного возбуждения длинноволновых возмущений струи, описание которых возможно в рамках одномерной модели [11]. Капиллярное давление, действующее на поверхность струи, в нашем случае следует сложить с найденным выше комбинационным. Полученная таким путем система уравнений справедлива, когда крупномасштабны как индуцированные волны ($k_0 a < 1$), так и воздействия на струю ($|k_{2z} - k_{1z}| a < 1$). Задача сводится к решению одного уравнения для амплитуды азимутально-симметричной компоненты радиального смещения поверхности цилиндра ξ :

$$(1.7) \quad \left(i\Omega + v_0 \frac{d}{dz} \right)^2 \bar{\xi}_\Omega + \frac{1}{2} \frac{\sigma}{\rho_0 \omega} \frac{d^2}{dz^2} \left(\bar{\xi}_\Omega + a^2 \frac{d^2}{dz^2} \bar{\xi}_\Omega \right) = \\ = \frac{a}{2\rho_0 \omega} \frac{d^2}{dz^2} \left[p_\Omega^{(1)} e^{-i(k_{2z} - k_{1z})z} \right],$$

где σ — коэффициент поверхностного натяжения воды. Будем рассматривать пучки с достаточно плавным профилем ($\chi'_z \ll k_0 \chi$, $\chi''_{zz} \ll k_0^2 \chi$) и ограничимся случаем малых расстрой ($|\Delta k| \ll k_0$). Тогда, полагая в (1.7) $\bar{\xi}_\Omega = (1/2)A(z) \exp(-ik_0 z)$, получим следующее уравнение для медленно меняющейся комплексной амплитуды волны A :

$$(1.8) \quad \frac{d^2 A}{dz^2} - \gamma^2 A = Q(z) e^{-i\Delta k z},$$

$$\text{где } Q = -\frac{(k_{2z} - k_{1z})^2 K p_{1,2}^*}{\rho_a \rho_\omega c_a^2 v_0^2 \pi^2 a n_1 n_2}; \quad \gamma = \frac{1}{r_0} \left[\frac{\sigma}{2\rho_0 a} k_0^2 (1 - k_0^2 a^2) \right]^{1/2}$$

— пространственный инкремент неустойчивости азимутально-симметричной моды струи.

Уравнение (1.8) следует решать совместно с граничными условиями в начале струи, которые имеют вид $A(0) = A'(0) = 0$. Решение асимптотически переходит в собственную волну, нарастающую с инкрементом γ : $A \rightarrow A_0 \exp(\gamma z)$, где A_0 — начальная амплитуда индуцированной волны. При небольших углах падения ($\cos \theta_{1,2} \approx 1$), когда можно пренебречь зависимостью Q от фазовой неоднородности пучков, A_0 принимает вид

$$(1.9) \quad A_0 = A_m \int_0^\infty \gamma \chi^2(|z - z_0|) e^{-\gamma z - i\Delta k z} dz.$$

Здесь $|A_m| = \frac{1}{2\pi^2} a \frac{\rho_a}{\rho_\omega} \left(\frac{c_a k_0}{v_0 \gamma} \right)^2 \left(1 + \frac{\Delta k}{k_0} \right)^2 \frac{M_1 M_2 |K| c_z^2}{\omega_1 \omega_2 \cos \theta_1 \cos \theta_2}$ совпадает с амплитудой индуцированной волны, когда $\Delta k = 0$ и пучки однородны; $M_{1,2} = p_{1,20} / c_a \rho_a$ — акустические числа Маха в точке пересечения осей излучателей с осью струи.

В качестве примера найдем A_0 в том случае, когда пучки создаются круглыми поршневыми излучателями, помещенными в жесткие экраны, а точка z_0 находится в зоне Френеля на одинаковом удалении R_0 от излучателей. Примем в соответствии с описанными ниже экспериментами параметр Френеля $s = \lambda R_0 / r_0^2$ равным 0,74 (λ — длина волны звука, r_0 — радиус излучателя). Профиль давления при данном s , построенный в [12], на интервале $0 < r_{\perp} < r_0$ можно аппроксимировать удобной для вычисления интеграла в (1.9) функцией $\chi = \exp[-1,5 r_{\perp} / r_0]$. Принимая, что $\chi \sim 1/r_{\perp}$ в области $r_{\perp} > r_0$, можно оценить ошибку при использовании данной аппроксимации на бесконечном интервале по z : $\delta A_0 / A_m \approx 0,04 \times \gamma a E_2(\gamma a)$ (E_2 — показательная степенная функция второго порядка). Наконец, в целях выяснения деталей комбинационного воздействия акустического поля на струю сделаем в (1.9) замену

$$(1.10) \quad \chi \rightarrow \chi(|z - z_0|)N(z - z_0),$$

где $N(x)$ — «экранный» множитель ($N = 1$ при $0 < x < L$ и $N = 0$ при $x > L, x < 0$). Тогда при $z_0 = 0$ из (1.9) для амплитуды возбужденной волны получается соотношение

$$(1.11) \quad \left| \frac{A_0}{A_m} \right| = \frac{|1 - e^{-\beta\gamma L - i\Delta k L}|}{\sqrt{\beta^2 + \left(\frac{\Delta k}{\gamma}\right)^2}} \left(\beta = 1 + \frac{3}{\gamma r_0} \right).$$

Как следует из (1.10), амплитуда возбужденной волны практически не возрастает при длине области воздействия на струю $L > L_* \approx 2/\beta\gamma$. Зависимость от Δk в правой части (1.10) можно рассматривать как резонансную характеристику возбуждения, если ширина такого резонанса достаточно мала. Можно видеть, что при переходе к однородным пучкам ($r_0 \rightarrow \infty$) длина области возбуждения возрастает, оставаясь конечной ($L_* \rightarrow 2/\gamma$), а ширина резонанса уменьшается — $2\sqrt{3}\beta\gamma \rightarrow 2\sqrt{3}\gamma$.

2. В естественном состоянии струя распадается на капли благодаря случайным возмущениям, которые трансформируются в неустойчивую волну [9, 11]. Искусственное возбуждение интенсивной неустойчивой волны должно приводить к более быстрому распаду струи. Оценим сдвиг точки разбиения, возникающий при включении акустического воздействия, исходя из следующих предположений: 1) случайные воздействия приводят к формированию в струе случайной квазимонохроматической волны, амплитуда которой нарастает с максимальным инкрементом γ_m ; 2) взаимодействием индуцированной и случайной волн можно пренебречь; 3) обе волны нарастают в соответствии с линейной теорией вплоть до образования перетяжек. Сдвиг Δl точки разбиения на капли к началу струи определим из условия, что среднее квадратичное смещение поверхности струи равно ее радиусу a :

$$(2.1) \quad |A_0|^2 e^{2\gamma(l_0 - \Delta l)} + a^2 e^{-2\gamma_m \Delta l} = a^2.$$

Здесь l_0 — расстояние от точки разбиения до сопла при $A_0 = 0$. Когда выполнено условие $2(\gamma_m - \gamma)\Delta l \ll 1$, уравнение (2.1) решается относительно Δl в явном виде

$$(2.2) \quad \Delta l \approx \frac{1}{2\gamma_m} \ln \left(1 + \frac{|A_0|^2}{A_N^2} \right),$$

где величину $A_N = a \exp[-\gamma(\Omega)l_0]$ можно интерпретировать как эффективный начальный уровень шума.

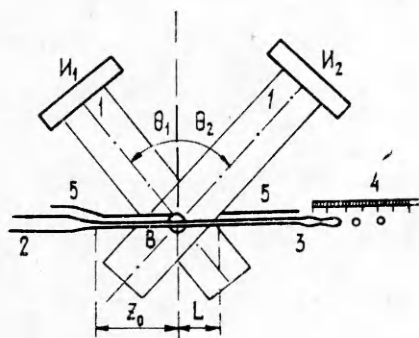
3. Для экспериментального исследования комбинационного воздействия ультразвука на струю использовалась установка, схема которой показана на фиг. 1 (I_2 и I_1 — стойки с излучателями, l — пластины крепления основания стоек, B — винт крепления пластин, 2 — сопло,

* Максимум инкремента достигается на частоте $\Omega_{inc} \approx (0,7/a)v_0$.

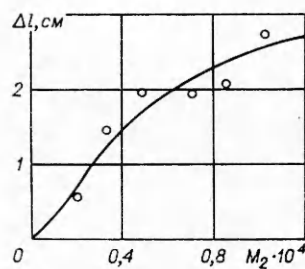
3 — струя, 4 — измерительная линейка, 5 — вводимый экран). Излучатели ультразвука в виде круглых пластинок из цирконата титаната свинца (ЦТС) с радиусом $r_0 = 1,5$ см были смонтированы в стойки, которые свободно поворачивались вокруг винта B , находящегося на расстоянии $R_0 = 9$ см от излучателей. Рабочие частоты выбирались близкими к частоте главного резонанса пластинок ($f_{1,2} = \omega_{1,2}/2\pi \approx 160$ кГц). Излучатели можно было перемещать вдоль струи, изменяя положение точки пересечения их осей с осью струи (размер z_0). Пиковое акустическое давление на оси каждого из излучателей в воздухе над точкой B измерялось микрофоном и достигало 113 дБ ($M_{1,2} \approx 10^{-4}$). Ширина амплитудно-частотной характеристики акустического поля излучателей на уровне 0,7 составляла 2 кГц. Струя водопроводной воды вытекала со скоростью $v_0 = 140$ см/с из сопла с радиусом $a = 0,075$ см. Естественный распад струи на капли происходил на расстоянии $l_0 = 15,3$ см от сопла. Положение точки распада определялось с помощью линейки, закрепленной вблизи струи. Поведение струи контролировалось визуально в обычном и в стробоскопическом освещении. Для создания стробоскопической подсветки использовалось напряжение с разностной частотой, полученное путем смещения напряжений на излучателях.

При указанных выше параметрах системы инкремент неустойчивости имеет максимальное значение $\gamma_m = 1,03$ см $^{-1}$ на частоте $F_m = \Omega_m/2\pi \approx 210$ Гц. Благодаря низкому уровню эффективного шума сдвиг точки разбиения, определенный по формулам (1.9), (2.2), оказывается значительным даже при сравнительно небольшом акустическом давлении. Выбирая для оценки угол $\theta_1 \approx 12^\circ$, получим резонансное значение угла $\theta_2 = 5,5^\circ$. Для небольших углов $\theta_{1,2}$ вычисления дают $K \approx 8,2$. В результате, полагая $M_{1,2} \approx 10^{-4}$, получим $\Delta l = 2,4$ см.

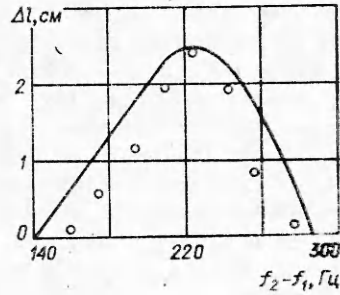
Заметное влияние акустического поля на распад струи было обнаружено в том случае, когда излучатели ориентировались на начальный участок струи и работали на близких частотах ($f_2 - f_1 \sim 200$ Гц). При падении на струю двух интенсивных волн ($M_{1,2} \sim 10^{-4}$) происходил сдвиг точки разбиения на капли к соплу и наблюдалась стабилизация течения в целом (уменьшение разбрызгивания капель). В стробоскопическом освещении в области разрушения струи была получена неподвижная картина капель, что говорит об их «комбинационном происхождении». Сдвиг точки распада имел место только при ориентации излучателя с большей частотой (f_2) вниз по потоку ($\theta_2 > 0$). Иначе говоря, для получения эффективного воздействия на струю фазовая скорость комбинационного поля должна иметь составляющую, направленную в ту же сторону, что и течение жидкости. Сдвиг точки распада струи на капли измерялся при следующих значениях фиксированных параметров: $M_{1,2} = 10^{-4}$, $\theta_{1,2} = 12^\circ$, $f_2 - f_1 = 220$ Гц, $z_0 = 0$. Зависимость сдвига точки распада Δl от амплитуды одной из волн показана на фиг. 2. В отсутствие какой-либо одной из акустических волн не было обнаружено изменений в струе. На фиг. 3 показана зависимость



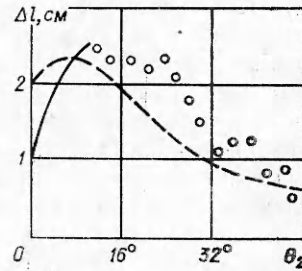
Ф и г. 1



Ф и г. 2



Ф и г. 3

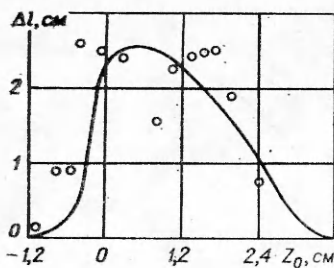


Ф и г. 4

Δl от разности частот падающих волн. Видно, что воздействие наиболее эффективно, когда в струе возбуждаются волны с частотой, находящейся вблизи максимума частотной зависимости инкремента азимутально-симметричной моды. Воздействие акустического поля проявлялось в широком диапазоне углов $\theta_{1,2}$ (фиг. 4) и сохранялось при смене положения точки пересечения осей излучателей с осью струи (фиг. 5).

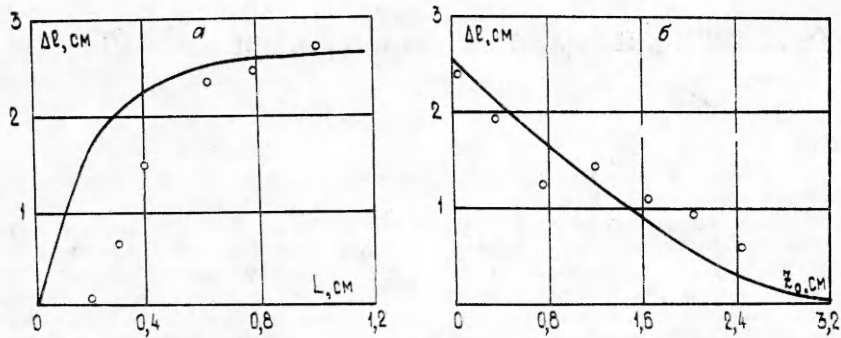
Чтобы исключить возможное воздействие комбинационного давления на сопло, использовался тонкий экран с вертикальной щелью, который вводился, как показано на фиг. 1. Раскрытие щели от точки B в сторону течения регулировалось в пределах от 0 до 20 мм. При наличии экрана взаимодействие акустического поля со струей локализовалось на размерах щели. Зависимость Δl от ширины щели показана на фиг. 6, *a*. Видно, что область возбуждения волны в струе имеет длину 6—7 мм (при L , превышающих эти значения, сдвиг практически не возрастает и равен значению в отсутствие экрана). На фиг. 6, *b* приведена зависимость Δl от z_0 , полученная при ширине щели 10 мм. Наличие сдвига точки разбегания при больших (по сравнению с длиной акустической волны $\lambda = 2,1$ мм) удалениях точки B от сопла исключает колебания кончика пипетки под действием акустического поля как возможный источник неустойчивых волн.

Одновременно с результатами измерений на фиг. 2—6 приведены теоретические графики, рассчитанные по формулам (1.9), (1.11) и (2.2). Теоретическая зависимость от угла θ_2 на фиг. 4, построенная в пределах применимости теории ($|\Delta k| \ll k_0$, $|k_{2z} - k_{1z}|a < 1$), охватывает лишь небольшой интервал углов и может быть сопоставлена с экспериментальными точками только при $\theta_2 \sim 12^\circ$ (ориентация излучателя I_2 под углами $\theta_2 < 12^\circ$ невозможна из-за габаритов стоек). Штриховой линией на фиг. 4 показан график угловой зависимости, полученный в предположении об узости резонанса по Δk (считается, что зависимость A_0 от угла в (1.9) определяется множителем $\exp(-i\Delta k z)$, тогда как A_m постоянно и равно значению в резонансе). Вычисления показывают, что резонанс по углу в (1.9) не является узким, так как при уменьшении A_0 в 2 раза нельзя пренебречь изменением A_m . Ввиду логарифмического характера зависимости Δl от A_0 учет больших расстройек Δk необходим даже при узком резонансе. Для того чтобы получить теоретическую зависимость от угла при любых



Ф и г. 5

θ_2 , следует отказаться от принятых при вычислении A_0 упрощений. Характерная ширина кривой на фиг. 3 определяется в основном частотной зависимостью инкремента γ , входящего в выражение для A_N . Теоретический расчет для экспериментов со щелью выполнялся с учетом экранного множителя в формуле (1.9). Систематическое смещение экспериментальных точек вправо на фиг. 6, *a* при малой ширине щели можно объяснить наличием конечного зазора между экраном и струей, а также конечной шириной самой струи, что приводит к умень-



Ф и г. 6

пению длины области акустического воздействия на струю при ориентации излучателей под углом к нормали.

Таким образом, в описанных выше экспериментах с капиллярной струей реализован комбинационный механизм управления развитием неустойчивости двумя ультразвуковыми пучками. Регуляризация процесса образования капель и смещение точки распада к началу струи были вызваны воздействием акустического поля двух волн на начальный участок струи, которое локализовалось в окрестности точки пересечения осей излучателей с осью струи и приводило к возбуждению в потоке неустойчивых волн.

В заключение отметим ряд моментов, существенных с точки зрения применения комбинационного воздействия ультразвуковых волн для управления другими гидродинамическими течениями. Использование ультразвуковых пучков позволяет локализовать возбуждение волны вперед заданной части потока, причем амплитуда индуцированной волны сравнительно просто может быть рассчитана в каждом конкретном случае. Применение ультразвука дает возможность избавиться от возмущений, возникающих из-за вибраций обтекаемых пластин и рабочих частей труб. Такой вибрационный фон неустраним при воздействии на поток звуковых волн с частотой, равной частоте гидродинамических колебаний.

Авторы выражают благодарность М. И. Рабиновичу за постоянный интерес к работе.

Поступила 10 II 1981

ЛИТЕРАТУРА

1. Власов Е. В., Гиневский А. С. Акустическое воздействие на аэродинамические характеристики турбулентной струи.— Изв. АН СССР. МЖГ, 1967, № 4.
2. Власов Е. В., Гиневский А. С. Влияние акустических возмущений на переход ламинарного пограничного слоя в турбулентный.— Учен. зап. ЦАГИ, 1971, т. 11, № 2.
3. Качанов Ю. С., Козлов В. В., Левченко В. Я. Генерация и развитие возмущений малой амплитуды в ламинарном пограничном слое при наличии акустического поля.— Изв. СО АН СССР. Сер. техн. наук, 1975, № 13, вып. 3.
4. Поляков Н. Ф. Индуцирование гидродинамических волн в ламинарном пограничном слое продольным звуковым полем.— В сб.: Симпозиум по физике акустико-гидродинамич. явлений. М.: Наука, 1975.
5. Sato H., Saito H. Artificial control of the laminar-turbulent transition of a two-dimensional wake by external sound.— J. Fluid Mech., 1979, vol. 84, N 4.
6. Левченко В. Я., Козлов В. В. Возникновение и развитие возмущений в пограничном слое.— В сб.: Модели в механике сплошной среды. Новосибирск: изд. ИТПМ, 1979.
7. Реутов В. П. О возбуждении неустойчивых гидродинамических волн на тангенциальном разрыве с помощью интенсивных ультразвуковых пучков.— Акуст. журн., 1979, т. 25, № 5.
8. Тиндаль. Звук. СПб., 1901.
9. Рэлей Дж. В. Теория звука. Т. 2. М.: ГИТТЛ, 1955.
10. Бетчелор. Введение в динамику жидкости. М.: Мир, 1973.
11. Левич В. Г. Физико-химическая гидродинамика. М.: ГИТТЛ, 1959.
12. Лепендин Л. Ф. Акустика. М.: Высшая школа, 1978.